

т.е. оно равно старому значению, уменьшенному на величину  $n_0 + jK_n$ .

При изменении числа набросов частоты вращения шпинделя  $j$  на один шаг новое значение оценочной функции

$$F(i, j+1) = -in_0 + (j+1)K_n D_i = -n_0 i + jK_n D_i + K_n D_i = F(i, j) + K_n D_i,$$

т.е. оно отличается от старого значения функции на величину  $K_n D_i$ .

Для случая, когда диаметр обработки увеличивается (обработка ведется от оси детали), оценочная функция

$$F(i, j) = n_0 i - jK_n D_i.$$

Последнее выражение получено аналогично (6).

Для случая  $K_n = 1$  расчет оценочной функции производится с помощью операций сложения и вычитания.

#### Г л а в а IV. ВЛИЯНИЕ ТЕХНОЛОГИЧЕСКИХ ПРОЦЕССОВ НА ЭКСПЛУАТАЦИОННЫЕ ХАРАКТЕРИСТИКИ ОБРАБОТАННЫХ ДЕТАЛЕЙ

УДК 621.9.04:621.941.01

А.И.ГОЛЕМБИЕВСКИЙ, канд. техн. наук,  
Г.Е.ГОЛЕМБИЕВСКАЯ (НПИ)

#### АНАЛИЗ СПОСОБА ОБРАБОТКИ ПРИ ПЛАНЕТАРНОМ ДВИЖЕНИИ ЗАГОТОВОК

Процесс резания при планетарном точении (рис. 1) осуществляется в результате одновременного вращения заготовки 1 относительно собственного центра вращения  $O_1$  и переносного вращения ее относительно неподвижного центра  $O$ , а также и прямолинейного перемещения реза 2 параллельно оси обрабатываемой заготовки. Возможны два случая точения: попутное, при котором направление относительного вращения заготовки совпадает с направлением ее переносного вращения, и встречное, при котором направление относительного вращения заготовки противоположно направлению ее переносного вращения. Процесс точения происходит в пределах угла  $2\varphi$ , величина которого определяется на основании теоремы косинусов при рассмотрении треугольника  $ОАО_1$ :

$$2\varphi = 2 \arccos \frac{(H + R_0)^2 + H^2 - R_3^2}{2(H + R_0)H}, \quad (1)$$

где  $H$  — расстояние между подвижным центром  $O_1$  и неподвижным —  $O$ ;  $R_0$  — радиус детали;  $R_3$  — радиус заготовки.

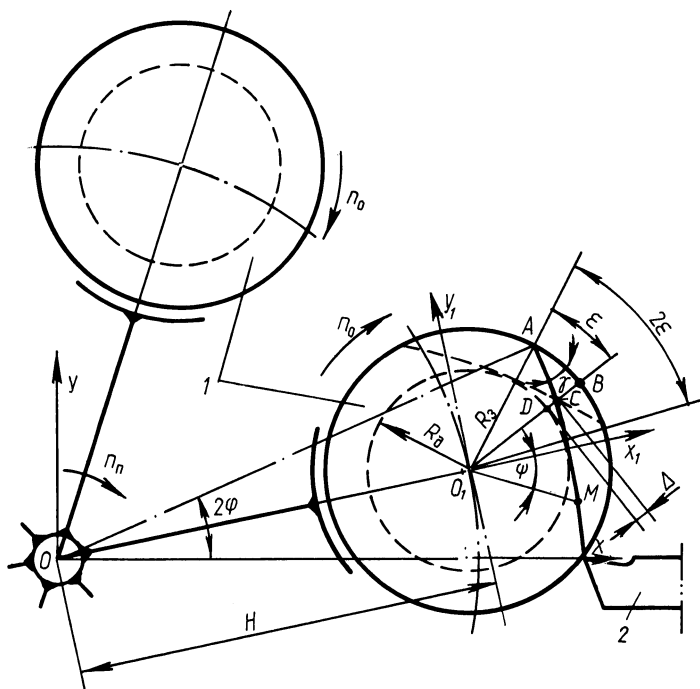


Рис. 1. Схема резания при планетарном точении

Скорость резания определяется по формуле\*

$$v = \frac{2\pi}{1000} [(H + R_2) \omega_n \pm R_2 \omega_0],$$

где  $\omega_n$  и  $\omega_0$  — соответственно круговая частота переносного и относительного вращения заготовок в об/мин.

Для планетарного точения характерна одновременная обработка нескольких заготовок. Кроме того этот процесс отличается удачным решением вопроса о стружкодроблении, что особенно важно при обработке металлов, образующих при резании сливную стружку. Изменяя величину угла поворота заготовки при ее относительном вращении, приходящуюся на угол  $2\varphi$  при ее переносном вращении, можно управлять траекторией следа вершины резца на заготовке (длиной стружки), высотой огранки, образующейся на обработанной поверхности, и другими параметрами процесса.

Для удобства дальнейшего изложения примем плоскую схему резания, пренебрегая пока поступательным перемещением резца. Тогда, в случае попутного точения, траектория следа вершины резца является функцией угла поворота  $\psi$  заготовки (см. рис. 1), определяющего положение произвольной

\*Здесь и далее верхний знак относится к попутному точению, а нижний — к встречному.

точки М в подвижной системе координат  $X_1 O_1 Y_1$ , и функцией угла ее поворота  $\varphi$  в неподвижной системе координат  $XOY$ . Координаты точки М в подвижной системе координат  $X_1 O_1 Y_1$  имеют вид

$$x_1 = R_0 \cos \psi; \quad y_1 = -R_0 \sin \psi.$$

Переходя к неподвижной системе координат и опуская промежуточные преобразования, получим

$$x = H \cos \varphi + R_0 \cos(\psi + \varphi); \quad y = H \sin \varphi - R_0 \sin(\psi + \varphi).$$

Аналогично выводятся координаты точки М при встречном точении

$$x = H \cos \varphi + R_0 \cos(\psi - \varphi); \quad y = H \sin \varphi - R_0 \sin(\psi - \varphi).$$

Объединяя оба случая и добавляя уравнение вершины реза в направлении продольной подачи, получим параметрическое уравнение траектории следа вершины реза

$$\begin{aligned} x &= H \cos \varphi + R_0 \cos(j \pm 1) \varphi; \\ y &= H \sin \varphi - R_0 \sin(j \pm 1) \varphi; \end{aligned} \quad (2)$$

$$z = \frac{s}{2\pi} \varphi,$$

где  $j = \psi/\varphi$  — отношение углов поворота заготовки;  $s$  — продольная подача.

По выражениям (2) устанавливаем, что траектория резания в случае попутного точения — удлиненная гипоциклоида, в случае встречного точения — укороченная гипоциклоида.

Протяженность следа или длину стружки, снимаемой в пределах угла  $2\varphi$ , определим, интегрируя дифференциал дуги

$$L = \int_0^{2\varphi} \sqrt{dx^2 + dy^2 + dz^2} \, d\varphi.$$

Имеем

$$dx = -H \sin \varphi \, d\varphi - R_0(j \pm 1) \sin(j \pm 1) \varphi \, d\varphi;$$

$$dy = H \cos \varphi \, d\varphi - R_0(j \pm 1) \cos(j \pm 1) \varphi \, d\varphi;$$

$$dz = \frac{s}{2\pi} \, d\varphi.$$

После подстановки значения производных в выражение для  $L$  и некоторых преобразований получим

$$L = \int_0^{2\varphi} \sqrt{H^2 + 2HR_0(j \pm 1) \cos[\varphi + (j \pm 1)\varphi] + R_0^2(j \pm 1)^2 + \frac{s^2}{4\pi^2}} \, d\varphi.$$

Введем обозначения

$$B = 2HR_0(j \pm 1); \quad A = H^2 + R_0^2(j \pm 1)^2 + \frac{s^2}{4\pi^2}. \quad (3)$$

Заменяя подынтегральное выражение двумя первыми членами ряда, окончательно получим

$$L = \sqrt{A} \int_0^{2\varphi} \left( 1 + \frac{1}{2} \cdot \frac{B}{A} \cos[\varphi + (j \pm 1) \varphi] \right) d\varphi = \sqrt{A} \left( 2\varphi + \frac{1}{2} \cdot \frac{B}{A} \cos[2\varphi + (j \pm 1) 2\varphi] \right), \quad (4)$$

где  $\varphi$ ,  $A$  и  $B$  определяются из выражений (1) и (3).

Для равномерного снятия припуска с заготовки необходимо задать такое отношение круговых частот вращения заготовки в относительном и переносном движениях, при котором каждый последующий срез будет перекрывать предыдущий на некоторый угол  $2\varepsilon$  (см. рис. 1). Это отношение определим следующим образом. За время поворота заготовки в переносном движении на угол  $2\pi - 2\varphi$  срезание припуска не происходит. В этот период в относительном движении заготовка должна повернуться на угол  $2k\pi - 2\varepsilon$ , где  $k$  — целое число. Тогда уравнение кинематического баланса можно записать в следующем виде:

$$2k\pi - 2\varepsilon = (2\pi - 2\varepsilon) i,$$

где  $i$  — искомое отношение.

Из этого уравнения получим

$$i = (k\pi - \varepsilon) / (\pi - \varphi). \quad (5)$$

При планетарном точении на поверхности детали образуется огранка. Ее теоретическая высота (см. рис. 1) определяется выражением

$$\Delta = R_3 - R_0 - BC. \quad (6)$$

Из треугольника  $ABC$ , считая его прямоугольным, имеем

$$BC = AB \operatorname{tg} \gamma,$$

где  $AB = R_3 \varepsilon$ , а угол  $\gamma$  определим, рассматривая треугольник  $ОАО_1$ . Используя теорему синусов и выполнив преобразования, окончательно получим

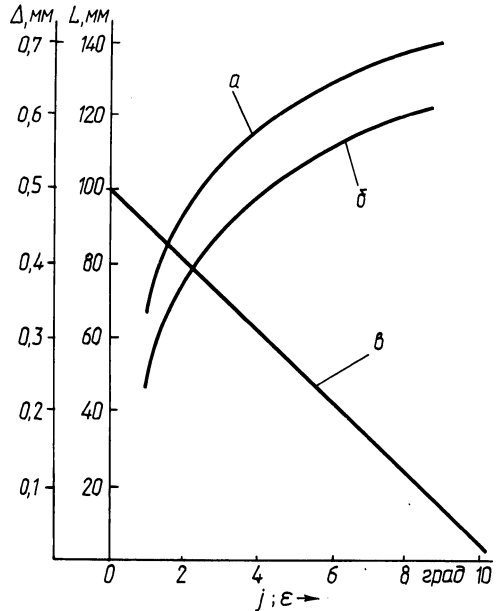


Рис. 2. Графики изменения длины стружки и высоты огранки

$$BC = R_3 \varepsilon \frac{H \sin \varphi}{\sqrt{R_3^2 - H^2 \sin^2 \varphi}}.$$

Подставляя полученное выражение в формулу (6) и заменяя  $R_d$  на  $R_3 - t$ , где  $t$  — припуск, снимаемый за один проход, после несложных преобразований получим

$$\Delta = t - R_3 \varepsilon \frac{H \sin \varphi}{\sqrt{R_3^2 - H^2 \sin^2 \varphi}}. \quad (7)$$

На рис. 2 по выражениям (4) и (7) построены кривые изменения длины сливной стружки в зависимости от соотношения углов поворота заготовки в относительном и переносном движениях и высоты огранки в функции угла перекрытия при следующих условиях:

$$H = 150 \text{ мм}, R_3 = 30 \text{ мм}, R_0 = 25 \text{ мм}.$$

Графики наглядно показывают, что длина сливной стружки по мере уменьшения отношения углов уменьшается как при попутном (кривая *a*), так и при встречном (кривая *б*) точении. Из графика (прямая *в*) также видно, что, изменяя угол перекрытия, можно получить любое приближающееся к нулю минимальное значение огранки обработанной поверхности. Это позволяет, объединяя формулы (5) и (7), получить выражение для передаточного отношения в функции высоты огранки, задаваемой в каждом конкретном случае обработки предельным значением некруглости поверхности

$$i = \frac{k\pi + (t - \Delta) \sqrt{\frac{1}{H^2 \sin^2 \varphi} - \frac{1}{R_3^2}}}{\pi - \varphi}.$$

Проверка изложенного проводилась с использованием приставки к токарному станку для одномерной обработки двух заготовок. Обточка образцов показала хорошую сходимость теоретических зависимостей с практическими результатами. Это позволяет результаты работы использовать при конструировании многошпиндельных станков для планетарной обработки, сочетающих достоинства последовательной и параллельной схем.